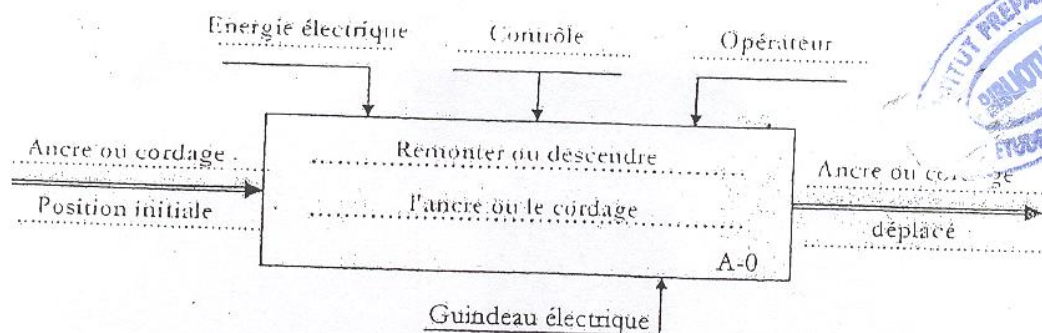
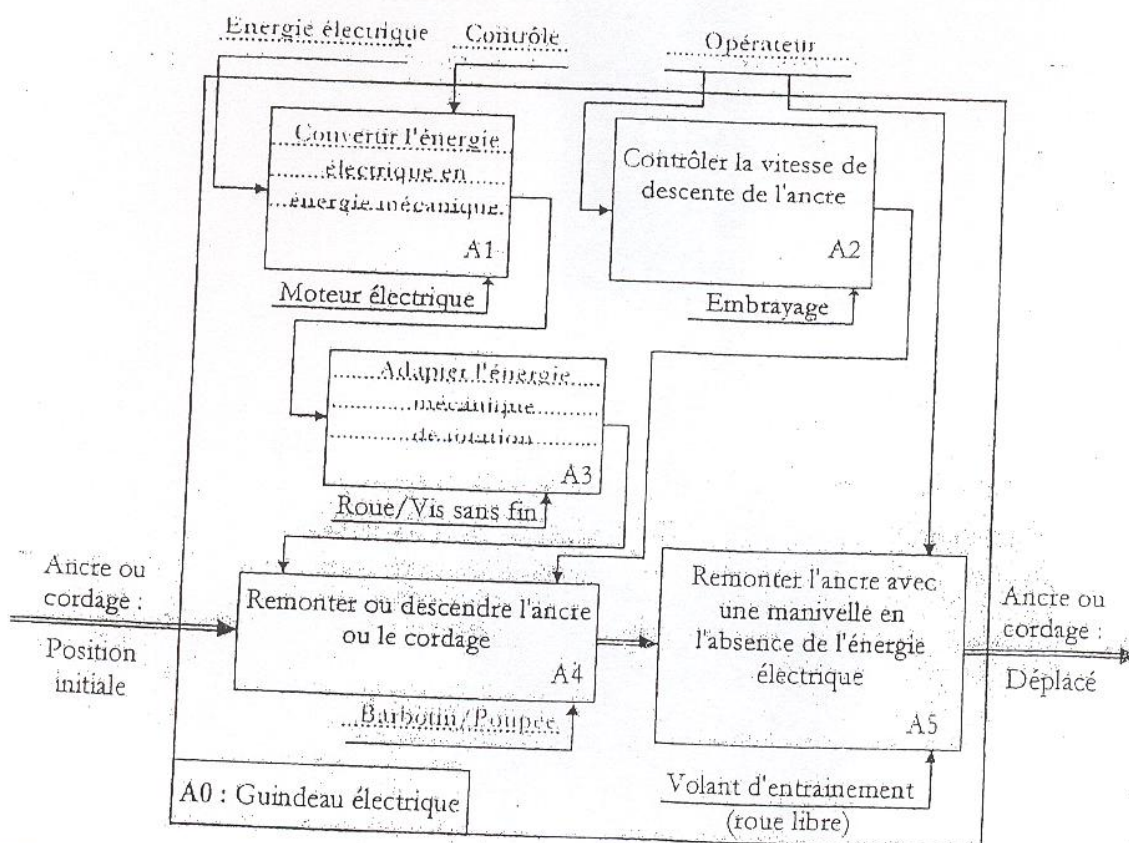


*Correction***PARTIE A : TECHNOLOGIE DE CONCEPTION****A.1- ANALYSE FONCTIONNELLE**

A.1.1- Indiquer, dans l'actigramme niveau A-0, la fonction globale du guindeau électrique.



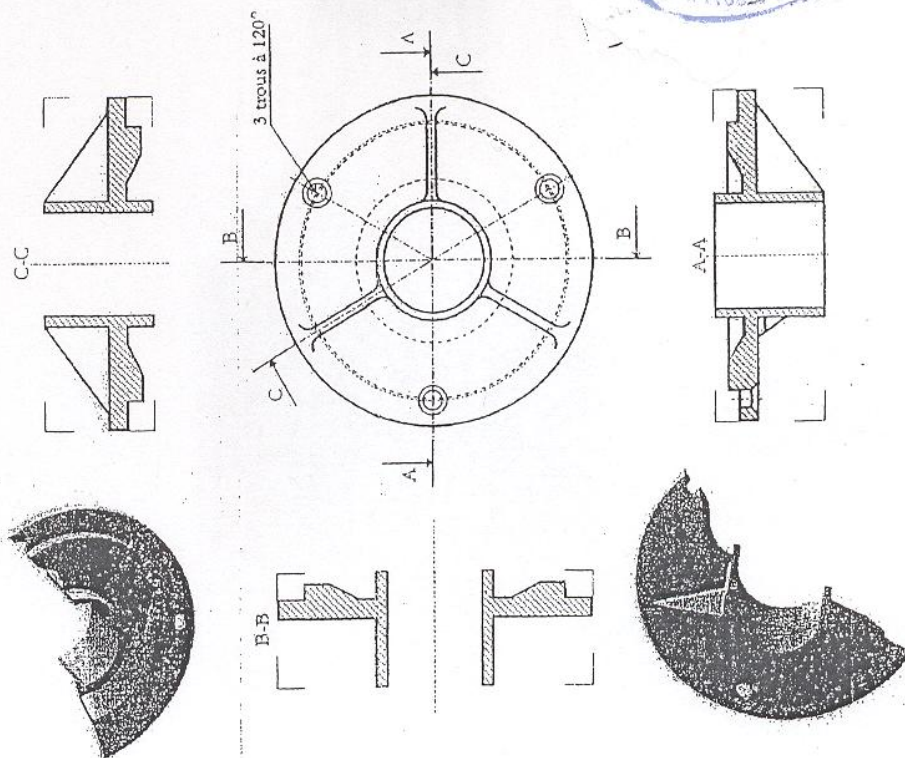
A.1.2- Indiquer, dans l'actigramme niveau A0, les différentes fonctions principales du guindeau électrique.



## A.2- ETUDE GRAPHIQUE

On donne le dessin en perspective du flasque en acier. Compléter le dessin de définition de cette pièce par :

- La vue de face ;
- La vue de dessus en coupe A-A ;
- Les sections serties B-B et C-C.



## PARTIE B : MECANIQUE DES SOLIDES INDEFORMABLES

## B.1- MODELISATION DES ACTIONS MECANQUES

B.1.1- A partir de la figure B.5, exprimer, en fonction de  $\alpha$ ,  $\beta$  et  $F$  les composantes  $F_x$ ,  $F_y$  et  $F_z$  de l'action de la vis (2) sur la roue (12).

$F_x = \dots F \cos \alpha \cos \beta \dots$	$F_y = \dots F \sin \alpha \dots$	$F_z = \dots F \cos \alpha \sin \beta \dots$
--	-----------------------------------	--

B.1.2. Identifier la nature (axiale, radiale ou tangentielle) des composantes de la force appliquée en K à la roue dentée (12) en plaçant une croix dans la case correspondant à la bonne réponse.

Composante de $\vec{F}$	Axiale	Radiale	Tangentielle
$F_x$	.....	.....	..... X .....
$F_y$	..... X .....	.....	.....
$F_z$	.....	.....	.....

B.1.3. Exprimer dans la base  $\vec{x}_0, \vec{y}_0, \vec{z}_0$ , le torseur représentant l'action, au point K, de la roue dentée (12) sur la vis (2). En déduire son expression au point D.

$$\begin{aligned} \vec{M}_v(12 \rightarrow 2) &= \vec{M}_v(12 \rightarrow 2) + \vec{DK} \wedge \vec{R}(12 \rightarrow 2) \\ &= \begin{pmatrix} 0 \\ 0 \\ 0 \end{pmatrix} \wedge \begin{pmatrix} F_x \\ F_y \\ F_z \end{pmatrix} = \begin{pmatrix} -R_y F_z \\ d F_z \\ R_x F_y - d F_y \end{pmatrix} \end{aligned}$$

$$\{v(12 \rightarrow 2)\}_D = \begin{pmatrix} -F_x & -R_y F_z \\ -F_y & d F_z \\ -F_z & R_x F_y - d F_y \end{pmatrix}_D$$

B.1.4. Identifier la nature des composantes de la résultante de l'action qu'exerce la roue dentée (12) sur la vis (2) en plaçant une croix dans la case correspondant à la bonne réponse.

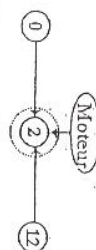
Composante appliquée à la vis (2)	Axiale	Radiale	Tangentielle
$F_x$	..... X .....	.....	.....
$F_y$	.....	..... X .....	.....
$F_z$	.....	.....	..... X .....



B.1.5- Déterminer, au point D, le moment dynamique de la vis (2) dans son mouvement par rapport au carter (0).

$$\vec{h}_D(2/0) = \dots \vec{0} \dots$$

B.1.6- Déterminer, au point D, le torseur des actions mécaniques extérieures exercées sur la vis (2).



$$\{2\} = (\dots, 12, \text{Moteur} \dots)$$

$$\{v(0 \rightarrow 2)\}_D = \begin{Bmatrix} X_D & 0 \\ Y_D & M_D \\ Z_D & N_D \end{Bmatrix}_D \quad \{v(12 \rightarrow 2)\}_D = \begin{Bmatrix} 0 & C_D \\ 0 & 0 \\ 0 & 0 \end{Bmatrix}_D \quad \{F\}_D = \begin{Bmatrix} F_x & -R_x F_z \\ F_y & d F_z \\ F_z & R_z F_x - d F_y \end{Bmatrix}_D$$

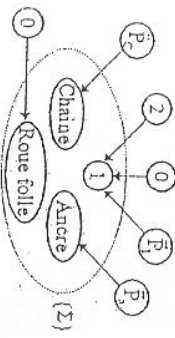
$$\Rightarrow \{v(2 \rightarrow 2)\}_D = \begin{Bmatrix} X_D - R_x F_z \\ Y_D - F_y \\ Z_D - F_z \\ C_D - R_x F_z \\ M_D + d F_z \\ N_D + R_z F_x - d F_y \end{Bmatrix}_D$$

B.1.7- Appliquer le théorème du moment dynamique à la vis (2) dans son mouvement par rapport au carter (0). En déduire la relation exprimant le couple moteur  $C_m$  en fonction de F.

$$L_2 \text{ TMD écrit : } \bar{M}_D(2 \rightarrow 2) = \vec{h}_D(2/0) = \vec{0}$$

$$C_m = R_x F \cos \alpha \sin \beta$$

B.1.8- Faire l'inventaire des actions mécaniques extérieures s'exerçant sur (Σ). Ecrire, en leurs points d'application et dans la base  $\mathcal{R}_0(\vec{x}_0, \vec{y}_0, \vec{z}_0)$ , tous les torseurs relatifs à ces actions mécaniques appliquées au système (Σ).



$$\{2\} = (\dots, 2, \text{Pesanteur} \dots)$$

$$\{v(\vec{P}_c \rightarrow 1)\}_{G_1} = \begin{Bmatrix} 0 \\ -M_1 g \\ 0 \end{Bmatrix}_{G_1}$$

$$\{v(\vec{P}_c \rightarrow \text{Ancre})\}_{G_2} = \begin{Bmatrix} 0 & 0 & 0 \\ -N_1 & g & 0 \\ 0 & 0 & 0 \end{Bmatrix}_{G_2}$$

$$\{v(\vec{P}_c \rightarrow \text{Chaîne})\}_{G_c} = \begin{Bmatrix} 0 & 0 & 0 \\ -M_c g & 0 & 0 \\ 0 & 0 & 0 \end{Bmatrix}_{G_c}$$

$$\{v(0 \rightarrow 1)\}_G = \begin{Bmatrix} X_G & 0 \\ Y_G & 0 \\ Z_G & 0 \end{Bmatrix}_G \quad \{v(0 \rightarrow 1)\}_C = \begin{Bmatrix} X_C & 0 \\ Y_C & 0 \\ Z_C & 0 \end{Bmatrix}_C$$

$$\{2 \rightarrow 12\}_K = \begin{Bmatrix} F_x & 0 \\ F_y & 0 \\ F_z & 0 \end{Bmatrix}_K \quad \{v(0 \rightarrow \text{Roue folle})\}_Q = \begin{Bmatrix} X_Q & L_Q \\ Y_Q & M_Q \\ Z_Q & 0 \end{Bmatrix}_Q$$

B.1.9- Déterminer, au point O et dans la base  $\mathcal{R}_0(\vec{x}_0, \vec{y}_0, \vec{z}_0)$ , le moment résultant de toutes les actions mécaniques extérieures exercées sur le système (Σ).

Calcul des moments au point O :

$$1. \bar{M}_O(G_c, \vec{P}_c) = \overrightarrow{OG_c} \wedge \vec{P}_c = (a_1 \vec{x}_0 + R_1 \vec{y}_0) \wedge (-M_1 g \vec{y}_0) = -M_1 g b_1 \vec{x}_0$$

$$2. \bar{M}_O(G_1, \vec{P}_c) = \overrightarrow{OG_1} \wedge \vec{P}_c = [(a_0 + R_1) \vec{x}_0 + (b_0 + L_1) \vec{y}_0 + a_2 \vec{z}_0] \wedge (-M_1 g \vec{y}_0) = M_1 g a_1 \vec{x}_0 - M_1 g (a_0 + R_1) \vec{z}_0$$

$$3. \bar{M}_O(\vec{P}_c \rightarrow \text{Chaîne}) = \bar{M}_O(\vec{P}_c \rightarrow \text{Chaîne}) + \overrightarrow{OE} \wedge \vec{P}_c = \int_{\text{Chaîne}} \overrightarrow{EP} \wedge d\vec{P}_c = \vec{0} \text{ (car EP et } d\vec{P}_c \text{ sont colinéaires)}$$

$$4. \bar{M}_{20}(0 \rightarrow 1) = \bar{M}_{20}(0 \rightarrow 1) + \overrightarrow{OC} \wedge \vec{P}_c = \vec{0} + (c \vec{z}_0) \wedge (X_c \vec{x}_0 + Y_c \vec{y}_0) = c X_c \vec{y}_0 - c Y_c \vec{x}_0$$

$$5. \bar{M}_O(2 \rightarrow 12) = \bar{M}_O(2 \rightarrow 12) + \overrightarrow{OK} \wedge \vec{P}_c = -(R_0 F_z + b F_y) \vec{x}_0 + b F_x \vec{y}_0 + R_0 F_x \vec{z}_0$$

$$6. \bar{M}_O(0 \rightarrow \text{Roue folle}) = \bar{M}_O(0 \rightarrow \text{Roue folle}) + \overrightarrow{OK} \wedge \vec{P}_c = \begin{Bmatrix} L_Q \\ M_Q \\ 0 \end{Bmatrix} + \begin{Bmatrix} a_1 \\ -b_0 \\ a \end{Bmatrix} \wedge \begin{Bmatrix} X_Q \\ Y_Q \\ Z_Q \end{Bmatrix}$$

$$= M_Q \begin{Bmatrix} L_Q \\ M_Q \\ 0 \end{Bmatrix} + \begin{Bmatrix} a_1 \\ -b_0 \\ a \end{Bmatrix} \wedge \begin{Bmatrix} X_Q \\ Y_Q \\ Z_Q \end{Bmatrix} = M_Q \begin{Bmatrix} L_Q + (b_0 Z_Q + a Y_Q) \\ M_Q + (a X_Q - a_1 Z_Q) \\ a_1 Y_Q + b_0 X_Q \end{Bmatrix}$$



$$\vec{M}_O(\vec{r} \rightarrow \Sigma) = \left( \begin{array}{c} (M_1, h, (M_1 + M_2) a) g = c X_{O_2} (R_0, F_0 + h F_1) + L_{O_2} = (h_0, Z_0 + a Y_0) \\ c X_{O_2} + b F_1 + M_2 + (a X_1 + b Y_1) Z_0 \\ (M_1 + M_2) g (a_0 + R) + R_0 F_1 + a_1 X_1 + b_0 X_1 \end{array} \right)_{\mathcal{R}_0}$$

## B.2- CINEMATIQUE ET CINETIQUE

B.2.1- Exprimer, dans la base  $\mathcal{R}_0(\vec{x}_0, \vec{y}_0, \vec{z}_0)$ , les torseurs cinématiques représentant les mouvements par rapport au carter (0) :

B.2.1.1- de l'ensemble  $\{1\}$  au point O :

$$\vec{\Omega}(1/0) = \dot{\theta} \vec{z}_0$$

$\vec{V}(O \in 1/0) = \vec{0}$ . Car O est le centre d'une liaison pivot entre (1) et (0).

B.2.1.2- de la vis (2) au point D :

$$\vec{\Omega}(2/0) = \dot{\phi} \vec{x}_0$$

$\vec{V}(D \in 2/0) = \vec{0}$ . Car D est le centre d'une liaison pivot entre (2) et (0).

B.2.2- Déterminer  $\vec{V}(K \in 1/0)$  et  $\vec{V}(K \in 2/0)$ . En déduire la vitesse de glissement  $\vec{V}(K \in 1/2)$ .

$$\vec{V}(K \in 1/0) = \vec{V}(O \in 1/0) + \vec{\Omega}(1/0) \wedge \vec{OK} = \vec{0} + (\dot{\theta} \vec{z}_0) \wedge (R_0 \vec{x}_0 + h \vec{z}_0) = R_0 \dot{\theta} \vec{x}_0$$

$$\vec{V}(K \in 1/0) = R_0 \dot{\theta} \vec{x}_0$$

$$\vec{V}(K \in 2/0) = \vec{V}(D \in 2/0) + \vec{\Omega}(2/0) \wedge \vec{DK} = \vec{0} + (\dot{\phi} \vec{x}_0) \wedge (d \vec{x}_0 + R_1 \vec{y}_0) = R_1 \dot{\phi} \vec{z}_0$$

$$\vec{V}(K \in 2/0) = R_1 \dot{\phi} \vec{z}_0$$

$$\vec{V}(K \in 1/2) = \vec{V}(K \in 1/0) - \vec{V}(K \in 2/0) = R_0 \dot{\theta} \vec{x}_0 - R_1 \dot{\phi} \vec{z}_0$$

$$\vec{V}(K \in 1/2) = R_0 \dot{\theta} \vec{x}_0 - R_1 \dot{\phi} \vec{z}_0$$

La condition de roulement sans glissement est elle réalisable au point de contact K ? Justifier.

La Condition de Non Glissement s'écrit :  $\vec{V}(K \in 1/2) = \vec{0}$

$$\Rightarrow R_0 \dot{\theta} \vec{x}_0 - R_1 \dot{\phi} \vec{z}_0 = \vec{0} \Rightarrow R_0 \dot{\theta} = 0 \text{ et } R_1 \dot{\phi} = 0 \Rightarrow \dot{\theta} = 0 \text{ et } \dot{\phi} = 0$$

$\Rightarrow$  La vitesse ne peut être nulle qu'en cas de blocage du système.

B.2.3- Déterminer la vitesse du point I du barbotin (1) dans son mouvement par rapport au carter (0) :  $\vec{V}(I \in 1/0)$ .

$$\vec{V}(I \in 1/0) = \vec{V}(A \in 1/0) + \vec{\Omega}(1/0) \wedge \vec{AI}$$

$$= \vec{0} + (\dot{\theta} \vec{z}_0) \wedge (R_1 \vec{y}_0) = -R_1 \dot{\theta} \vec{x}_0$$

$$\vec{V}(I \in 1/0) = -R_1 \dot{\theta} \vec{x}_0$$

B.2.4- La ligne de mouillage ne peut effectuer qu'un mouvement de translation suivant l'axe  $(E, \vec{y}_0)$ .  
B.2.4.1- Déterminer la vitesse de translation du centre d'inertie de l'ancré  $\vec{V}(G_1/0)$  dans son mouvement par rapport au carter (0).

$$\vec{V}(G_1/0) = \left( \frac{d\vec{OG}_1}{dt} \right)_{\mathcal{R}_0} = \left( \frac{d(R \vec{x}_0 - (L_0 - y) \vec{y}_0)}{dt} \right)_{\mathcal{R}_0} = \dot{y} \vec{y}_0$$

$$\vec{V}(G_1/0) = \dot{y} \vec{y}_0$$

B.2.4.2- Etant donné que la chaîne est inextensible et que la condition de non glissement par rapport au barbotin se traduit par :  $\|\vec{V}(I \in 1/0)\| = \|\vec{V}(G_1/0)\|$ , trouver la relation entre les vitesses  $\dot{y}$  et  $\dot{\theta}$ .

$$\| -R_1 \dot{\theta} \vec{x}_0 \| = \| \dot{y} \vec{y}_0 \| \Rightarrow$$

$$R_1 \dot{\theta} = \dot{y}$$

B.2.4.3- Sachant qu'au début de la phase de levage, les conditions initiales sont :  $L = L_0$ ,  $\theta = 0$  et  $\dot{\phi} = 0$ ; exprimer en fonction de  $R_0$ ,  $\theta$  et  $L_0$  la longueur courante  $L$  de la chaîne.

$$\dot{y} = R_1 \dot{\theta} \Rightarrow y = R_1 \theta + C^{\text{te}}. \text{ Or } L \text{ à } t = 0, y = 0 \text{ et } \theta = 0 \Rightarrow C^{\text{te}} = 0$$

$$L = L_0 + y = L_0 + R_1 \theta$$

$$L = L_0 + R_1 \theta$$



B.2.5. Sachant que l'axe  $(O, \vec{z}_0)$  est un axe principal d'inertie de l'ensemble  $\{1\}$ . Donner la forme générale de la matrice d'inertie, au point O et dans la base  $\{\vec{x}_0, \vec{y}_0, \vec{z}_0\}$ , de cet ensemble.

$$[I_O(1)]_0 = \begin{bmatrix} A_0 & F_0 & 0 \\ F_0 & B_0 & 0 \\ 0 & 0 & C_0 \end{bmatrix}$$

B.2.6. Déterminer le tenseur cinétique puis le tenseur dynamique au point O de l'ensemble  $\{1\}$  dans son mouvement par rapport au cartier (0).

$$\begin{aligned} \cdot \bar{R}_O(1/0) &= M_1 \cdot \bar{V}(G_1/0) = \vec{0} \\ \cdot \bar{\delta}_O(1/0) &= [I_O(1)]_0 \cdot \bar{\omega}(1/0) = C_0 \cdot \dot{\theta} \cdot \vec{z}_0 \\ \text{Car } O \in (1) \text{ est fixe dans le repère } \mathcal{R}_0 \text{ (cas particulier)} \end{aligned}$$

$$\{\mathcal{G}(1/0)\}_0 = \begin{bmatrix} 0 & 0 & 0 \\ 0 & 0 & 0 \\ 0 & 0 & C_0 \cdot \dot{\theta} \end{bmatrix}_{\vec{z}_0}$$

$$\cdot \bar{\delta}_O(1/0) = \left( \frac{d\bar{\delta}_O(1/0)}{dt} \right)_{/ \mathcal{R}_0} = C_0 \cdot \ddot{\theta} \cdot \vec{z}_0$$

$$\{\mathcal{D}(1/0)\}_0 = \begin{bmatrix} 0 & 0 & 0 \\ 0 & 0 & 0 \\ 0 & 0 & C_0 \cdot \ddot{\theta} \end{bmatrix}_{\vec{z}_0}$$

B.2.7. Exprimer en fonction de  $I_0, M_1, \theta, \dot{\theta}, R_1$  et  $\lambda$  la résultante cinétique  $\bar{R}_c(\Sigma/0)$  du système  $\{\Sigma\}$  dans son mouvement par rapport au cartier (0).

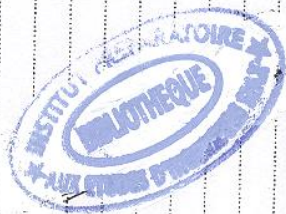
$$\bar{R}_c(\Sigma/0) = \bar{R}_O(1/0) + \bar{R}_0(\text{Ancre}/0) + \bar{R}_0(\text{Chaîne}/0)$$

$$\cdot \bar{R}_O(1/0) = M_1 \cdot \bar{V}(G_1/0) = \vec{0}$$

$$\cdot \bar{R}_0(\text{Ancre}/0) = M_1 \cdot \bar{V}(G_1/0) = M_1 \cdot R_1 \cdot \dot{\theta} \cdot \vec{y}_0$$

$$\cdot \bar{R}_0(\text{Chaîne}/0) = M_1 \cdot \bar{V}(G_1/0) = M_1 \cdot \dot{\gamma} \cdot \vec{x}_0 = \lambda \cdot (I_0 - R_1 \cdot \theta) \cdot R_1 \cdot \dot{\theta} \cdot \vec{y}_0$$

$$\bar{R}_c(\Sigma/0) = \dots [\lambda I_0 + \lambda \lambda I_0 - R_1 \cdot \theta] \cdot R_1 \cdot \dot{\theta} \cdot \vec{y}_0$$



B.2.8. Exprimer en fonction de  $L_0, M_1, \theta, \dot{\theta}, R_1$  et  $\lambda$  la résultante dynamique  $\bar{R}_d(\Sigma/0)$  du système  $\{\Sigma\}$  dans son mouvement par rapport au cartier (0).

$$\bar{R}_d(\Sigma/0) = \bar{R}_O(1/0) + \bar{R}_0(\text{Ancre}/0) + \bar{R}_0(\text{Chaîne}/0)$$

$$\cdot \bar{R}_O(1/0) = M_1 \cdot \bar{V}(G_1/0) = \vec{0}$$

$$\cdot \bar{R}_0(\text{Ancre}/0) = M_1 \cdot \bar{V}(G_1/0) = M_1 \cdot \dot{\gamma} \cdot \vec{x}_0 = M_1 \cdot R_1 \cdot \dot{\theta} \cdot \vec{y}_0$$

$$\cdot \bar{R}_0(\text{Chaîne}/0) = M_1 \cdot \bar{V}(G_1/0) = M_1 \cdot \dot{\gamma} \cdot \vec{x}_0 = \lambda \cdot (I_0 - R_1 \cdot \theta) \cdot R_1 \cdot \dot{\theta} \cdot \vec{y}_0$$

$$\bar{R}_d(\Sigma/0) = \dots [M_1 + \lambda \lambda I_0 - R_1 \cdot \theta] \cdot R_1 \cdot \dot{\theta} \cdot \vec{y}_0$$

B.2.9. Déterminer le moment dynamique, au point O, du système  $\{\Sigma\}$  dans son mouvement par rapport au cartier (0).

$$\bar{\delta}_O(\Sigma/0) = \bar{\delta}_O(1/0) + \bar{\delta}_0(\text{Ancre}/0) + \bar{\delta}_0(\text{Chaîne}/0)$$

$$\cdot \bar{\delta}_O(1/0) = C_0 \cdot \ddot{\theta} \cdot \vec{z}_0$$

$$\cdot \bar{\delta}_0(\text{Ancre}/0) = \bar{\delta}_O(1/0) + \overline{OG_1} \wedge \bar{R}_0(\text{Ancre}/0)$$

$$\bar{\delta}_O(\text{Ancre}/0) = \vec{0} \text{ car l'ancrage est en translation par rapport à (0).}$$

$$\overline{OG_1} = (a_0 + R_1) \vec{x}_0 = (b_0 + L_0) \vec{x}_0 + a_0 \vec{z}_0$$

$$\Rightarrow \bar{\delta}_O(\text{Ancre}/0) = -M_1 \cdot a \cdot R_1 \cdot \dot{\theta} \cdot \vec{x}_0 + M_1 \cdot (a_0 + R_1) \cdot R_1 \cdot \dot{\theta} \cdot \vec{z}_0$$

$$\cdot \bar{\delta}_O(\text{Chaîne}/0) = \bar{\delta}_O(\text{Chaîne}/0) + \overline{OE} \wedge \bar{R}_0(\text{Chaîne}/0)$$

$$\bar{\delta}_O(\text{Chaîne}/0) = \int_{P \in (\text{Chaîne})} \overline{EP} \wedge \vec{\gamma}(P/0) \, dm = \vec{0} \text{ (car } \overline{EP} \text{ et } \vec{\gamma}(P/0) \text{ sont colinéaires).}$$

$$\overline{OE} = (a_0 + R_1) \vec{x}_0 = b_0 \vec{x}_0 + a_0 \vec{z}_0$$

$$\bar{R}_0(\text{Chaîne}/0) = \lambda \cdot (I_0 - R_1 \cdot \theta) \cdot R_1 \cdot \dot{\theta} \cdot \vec{y}_0$$

$$\bar{\delta}_O(\Sigma/0) = \dots [M_1 + \lambda \lambda I_0 - R_1 \cdot \theta] \cdot a \cdot R_1 \cdot \dot{\theta} \cdot \vec{x}_0 + \{C_0 + [M_1 + \lambda \lambda I_0 - R_1 \cdot \theta] \cdot (a_0 + R_1) \cdot R_1\} \cdot \dot{\theta} \cdot \vec{z}_0$$



### B.3- EQUATIONS DYNAMIQUES

B.3.1- Ecrire les équations dynamiques ①, ② et ③ qui découlent du théorème du moment dynamique appliqué au système  $\{\Sigma\}$  dans son mouvement par rapport au carter (0).

I.e. TMD, au point  $O_0$  appliqué à  $\{\Sigma\}$  :  $\vec{M}_{O_0}(\vec{r}_0 \rightarrow \Sigma/0) = \vec{p}_{O_0}(\Sigma/0)$

Les équations dynamiques s'obtiennent par projections :

successives du TMD sur les vecteurs unitaires de la base  $\mathcal{B}_0(\vec{x}_0, \vec{y}_0, \vec{z}_0)$

①	$[M_1 + (M_2 + M_0)g + cY_0 + (R_1 F_x + b F_y) + L_0 + (b_1 Z_0 + a_1 Y_0)]$ $= -[M_1 + \lambda(L_0 - R_1 \theta)] a_1 R_1 \dot{\theta}$
②	$cX_0 + b_1 F_x + M_0 + a_1 X_0 + a_2 Z_0 = 0$
③	$-(M_1 + M_0)g + (a_1 + R_1)F_x + a_2 Y_0 + b_1 X_0$ $= [C_1 + (M_1 + \lambda(L_0 - R_1 \theta))(a_1 + R_1)] R_1 \dot{\theta}$

B.3.2- Déterminer l'énergie cinétique du système  $\{\Sigma\}$  dans son mouvement par rapport au carter (0).

$$E_c(\Sigma/0) = E_c(1/0) + E_c(\text{Ancres}/0) + E_c(\text{Chaîne}/0)$$

$$E_c(1/0) = \frac{1}{2} \{g(1/0)\}_{G_1} = \frac{1}{2} C_1 \dot{\theta}^2$$

$$E_c(\text{Ancres}/0) = \frac{1}{2} \{g(\text{Ancres}/0)\}_{G_2} = \frac{1}{2} M_1 \dot{y}^2 = \frac{1}{2} M_1 R_1^2 \dot{\theta}^2$$

$$E_c(\text{Chaîne}/0) = \frac{1}{2} \{g(\text{Chaîne}/0)\}_{G_3} = \frac{1}{2} M_0 \dot{y}^2 = \frac{1}{2} \lambda (L_0 - R_1 \theta) R_1^2 \dot{\theta}^2$$

$$E_c(\Sigma/0) = \frac{1}{2} [C_1 + (M_1 + \lambda(L_0 - R_1 \theta)) R_1^2] \dot{\theta}^2$$

B.3.3- Déterminer la puissance développée par les actions mécaniques extérieures exercées sur le système  $\{\Sigma\}$  dans son mouvement par rapport au carter (0).

Les seules actions mécaniques qui développent une puissance sont les poids  $\vec{P}_1, \vec{P}_0$  et l'action de (2) sur (12).

$P(1 \rightarrow 1/0) = P(0 \rightarrow \text{Roue folle}/0) = 0$  car liaisons parfaites.

$P(2 \rightarrow 12/0) = (c(2 \rightarrow 12))_{G_2} = \{2c(2/0)\}_{G_2} = \vec{P}_2 \cdot \vec{v}(2/0) = \vec{P}_2 \cdot \vec{v}(12/0) = \vec{P}_2 \cdot R_2 \dot{\theta}$

$P(\vec{P}_1 \rightarrow 1/0) = (c(\vec{P}_1 \rightarrow 1))_{G_1} = \{2c(1/0)\}_{G_1} = 0$

$P(\vec{P}_2 \rightarrow \text{Ancres}/0) = (c(\vec{P}_2 \rightarrow \text{Ancres}))_{G_2} = \{2c(\text{Ancres}/0)\}_{G_2} = \vec{P}_2 \cdot \vec{v}(G_2/0) = -M_1 g R_1 \dot{\theta}$

$P(\vec{P}_0 \rightarrow \text{Chaîne}/0) = (c(\vec{P}_0 \rightarrow \text{Chaîne}))_{G_3} = \{2c(\text{Chaîne}/0)\}_{G_3} = -\lambda(L_0 - R_1 \theta) g R_1 \dot{\theta}$

$$P(\Sigma \rightarrow \Sigma/0) = [\vec{P}_1 \cdot \vec{R}_0 + (M_1 + \lambda(L_0 - R_1 \theta)) g R_1] \dot{\theta}$$

B.3.4- Ecrire l'équation qui découle de l'application du théorème de l'énergie cinétique au système  $\{\Sigma\}$  dans son mouvement par rapport au carter (0);

$$\text{TEC: } \frac{dE_c(\Sigma/0)}{dt} = P(\Sigma \rightarrow \Sigma/0) + \mathcal{P}$$

$\mathcal{P} = 0$  car toutes les liaisons intérieures sont parfaites.

$$\frac{dE_c(\Sigma/0)}{dt} = [C_1 + (M_1 + \lambda(L_0 - R_1 \theta)) R_1^2] \dot{\theta} \ddot{\theta} + \frac{1}{2} \lambda R_1^2 \dot{\theta}^3$$

$$[\vec{F}_x \cdot \vec{R}_0 + (M_1 + \lambda(L_0 - R_1 \theta)) g R_1] \dot{\theta} = [C_1 + (M_1 + \lambda(L_0 - R_1 \theta)) R_1^2] \dot{\theta} \ddot{\theta} + \frac{1}{2} \lambda R_1^2 \dot{\theta}^3$$

B.3.5- Sachant, que le rapport de transmission roue et vis est défini par la relation :  $r = \frac{\theta}{\varphi} = \frac{\theta}{\varphi}$  déduire l'expression du couple moteur en fonction des données du problème en régime transitoire ( $\varphi$  est une variable dans le temps).

$$F_x = F \cos \alpha \cos \beta = F_2 \cos \beta = \frac{C}{R_2} \cos \beta$$

$$C_m R_2 \cos \beta = [C_1 + (M_1 + \lambda(L_0 - R_1 \theta)) R_1^2] \dot{\theta} + \frac{1}{2} \lambda R_1^2 \dot{\theta}^2 + (M_1 + \lambda(L_0 - R_1 \theta)) g R_1$$

$$C_m = \frac{R_2}{R_1} \cos \beta \left\{ [C_1 + (M_1 + \lambda(L_0 - R_1 \theta)) R_1^2] \dot{\theta} + \frac{1}{2} \lambda R_1^2 \dot{\theta}^2 + (M_1 + \lambda(L_0 - R_1 \theta)) g R_1 \right\}$$



B.3.6- Que devient ce couple lors d'un régime de fonctionnement normal ( $\dot{\phi} = \omega = Cte$ ).

$$C_m = \frac{R_2}{R_1} \lg \beta \left[ (M_1 + \lambda L_0 - R_1 \rho) g R_1 - \frac{1}{2} \lambda R_1^2 \omega^2 \right]$$

B.3.7- En considérant les données numériques suivantes :

$$R_0 = 50 \text{ mm}, R_1 = 45 \text{ mm}, R_2 = 18 \text{ mm}, \beta = 70^\circ, \alpha = 20^\circ, \\ r = \frac{3}{56}, L_0 = 25 \text{ m}, \lambda = 2,25 \text{ Kg/m}, M_a = 25 \text{ Kg}, g = 10 \text{ Nm}^2; \omega = 1500 \text{ tr/min}$$

B.3.7.1- Calculer le couple maximal développé par le moteur. A quelle position de l'ancre est-il associé ?

$$C_{\max} = \frac{R_2}{R_1} \lg \beta \left[ (M_1 + \lambda L_0) g R_1 - \frac{1}{2} \lambda R_1^2 \omega^2 \right] \Rightarrow C_{\max} = 2,32 \text{ (Nm)}$$

Le couple est maximal si la longueur  $L$  est maximale  $\Rightarrow L = L_0 \Rightarrow \phi = 0$

B.3.7.2- Calculer le couple minimal développé par le moteur. A quelle position de l'ancre est-il associé ?

$$C_{\min} = \frac{R_2}{R_1} \lg \beta \left( M_1 g R_1 - \frac{\lambda}{2} R_1^2 \omega^2 \right) \Rightarrow C_{\min} = 1,6 \text{ (Nm)}$$

Le couple est minimal si la longueur  $L$  est minimale  $\Rightarrow L = 0 \Rightarrow L_0 - R_1 \rho = 0$

B.3.7.3- Calculer le nombre de tours effectués par l'arbre moteur pour obtenir un levage total de l'ancre.

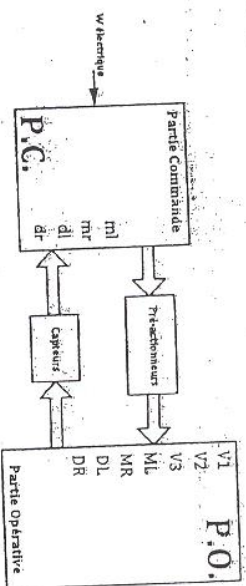
$$N = 1650 \text{ tours}$$



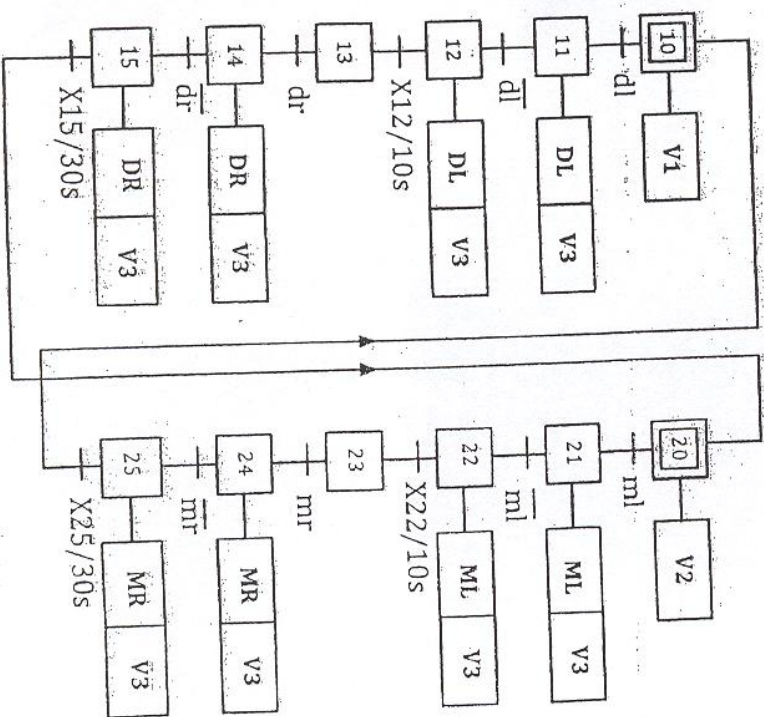
## PARTIE C: AUTOMATIQUE

C.1- COMMANDE SEQUENTIELLE DE POSITIONNEMENT DE L'ANCHE

C.1.1- Compléter le schéma fonctionnel de l'automatisme.



C.1.2- Compléter le grafcet décrivant le fonctionnement du système.



Graficet du système de positionnement de l'ancre

## C.2. ETUDE DE L'ASSERVISSEMENT DE POSITION DE L'ANCRE

### C.2.1. Modélisation de l'ensemble moteur+charge

C.2.1.1. Ecrire les équations de (1) à (6) du système dans le domaine de Laplace en supposant que les conditions initiales sont nulles.

$U(p) - E(p) = R + Lp \quad I(p) \quad (1)$	$C_1(p) - C_r(p) = J_r p + f_r \Omega_1(p) \quad (2)$
$E(p) = K_0 \Omega_1(p) \quad (3)$	$C_1(p) = K_1 I(p) \quad (4)$
$C_2(p) - C_r(p) = J_2 p + f_2 \Omega_2(p) \quad (5)$	$C_{1r}(p) \Omega_1(p) = C_2(p) \Omega_2(p); \quad r = \frac{\Omega_2(p)}{\Omega_1(p)} = \frac{C_{1r}(p)}{C_2(p)} \quad (6)$

C.2.1.2. Montrer que les équations mécaniques (2), (5) et (6) peuvent se mettre sous la forme suivante :

$$C_1(t) - r C_r(t) = J_r \frac{d\Omega_2(t)}{dt} + f_r \Omega_2(t) \quad (7)$$

Avec :  $J_r = \frac{J_1}{r} + r J_2$  et  $f_r = \frac{f_1}{r} + r f_2$

On a (2) :  $C_1(p) - C_r(p) = J_1 p + f_1 \Omega_1(p)$ ; (6) :  $C_{1r}(p) = r C_2(p)$  et  $\Omega_1(p) = \frac{\Omega_2(p)}{r}$

$$\rightarrow C_1(p) - r C_2(p) = J_1 p + f_1 \frac{\Omega_2(p)}{r} \text{ avec (5) : } C_2(p) = J_2 p + f_2 \Omega_2(p) + C_r(p)$$

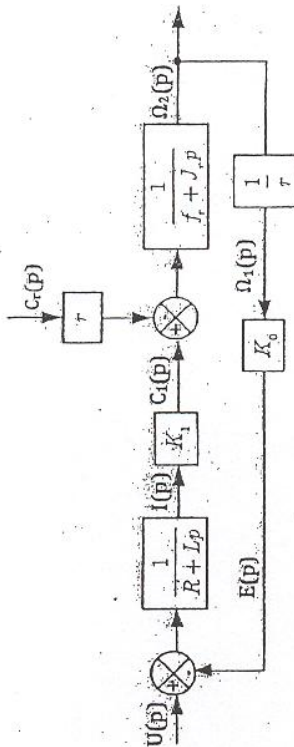
Donc  $C_1(p) - r C_r(p) = \left[ \frac{J_1}{r} + r J_2 \right] p + \left[ \frac{f_1}{r} + r f_2 \right] \Omega_2(p)$

$$\Rightarrow C_1(t) - r C_r(t) = J_r \frac{d\Omega_2(t)}{dt} + f_r \Omega_2(t)$$

Avec  $J_r = \frac{J_1}{r} + r J_2$

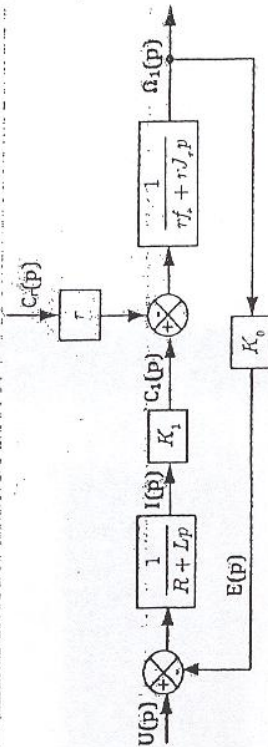
et  $f_r = \frac{f_1}{r} + r f_2$

### C.2.1.3. Compléter le schéma fonctionnel ci-après par les transmittances manquantes.



C.2.1.4. Montrer que le schéma fonctionnel de la question C.2.1.3. peut se mettre sous la forme suivante :

$$\text{On a } \Omega_1(p) = \frac{\Omega_2(p)}{r} \Rightarrow C_1(p) - r C_r(p) = \frac{1}{r J_r p + r f_r} \Omega_1(p)$$



C.2.1.5. Montrer que l'expression de la vitesse du moteur en fonction de la tension d'induit et du couple de perturbation  $C_r$  s'écrit :  $\Omega_2(p) = G_1(p) U(p) + G_2(p) C_r(p)$ . En déduire les expressions des fonctions de transfert  $G_1(p)$  et  $G_2(p)$ .

En appliquant le théorème de superposition, on a :

1<sup>er</sup> cas :  $C_r(p) = 0$  et  $U(p) \neq 0$

$$\Rightarrow \frac{\Omega_1(p)}{U(p)} = G_1(p) = \frac{K_1}{R + Lp + r J_r p + r f_r + K_1 K_0}$$

2<sup>ème</sup> cas :  $U(p) = 0$  et  $C_r(p) \neq 0$

$$\Rightarrow \frac{\Omega_1(p)}{C_r(p)} = G_2(p) = - \frac{r R + Lp}{R + Lp + r J_r p + r f_r + K_1 K_0}$$





Donc

$$\Omega_1(p) = \frac{1}{R + Lp \cdot rJ_p p + rJ_c + K_1 K_0} [K_1 U(p) - r R + Lp C_1(p)]$$

$$G_1(p) = \frac{K_1}{R + Lp \cdot rJ_p p + rJ_c + K_1 K_0}$$

$$G_1(p) = \frac{r R + Lp}{R + Lp \cdot rJ_p p + rJ_c + K_1 K_0}$$

C2.1.6- En se référant au tableau C.2 du dossier présentation, données et hypothèses, calculer, en fonction de  $J_r$  la fonction de transfert du système  $G_1(p) = \frac{\Omega_1(p)}{U(p)}$  que l'on exprimera sous la forme canonique d'un système du second ordre de gain  $K$ , de coefficient d'amortissement  $m$  et de pulsation propre non amortie  $\omega_0$ .

$$G_1(p) = \frac{\Omega_1(p)}{U(p)} = \frac{K_1}{R + Lp \cdot rJ_p p + rJ_c + K_1 K_0} \quad \text{A.N. } G_1(p) = \frac{0,25}{4J_r p^2 + 24J_r + 6,25 \cdot 10^{-3} p + 0,1}$$

$$G_1(p) = \frac{0,25 \cdot 10^{-3} / J_r}{p^2 + \left(6 + \frac{1,5625 \cdot 10^{-3}}{J_r}\right) p + \frac{0,025}{J_r}} = \frac{K \omega_0^2}{p^2 + 2m\omega_0 p + \omega_0^2}$$

C2.1.7- En déduire les expressions de  $K$ ,  $m$  et  $\omega_0$

$$K = 2,5$$

$$\omega_0 = \sqrt{\frac{0,025}{J_r}}$$

$$m = \frac{24J_r + 6,25 \cdot 10^{-3}}{\sqrt{1,6J_r}}$$

C2.1.8- Calculer, suivant l'inertie  $J_{\min}$  ou  $J_{\max}$  du système, le coefficient d'amortissement  $m$  et la pulsation propre non amortie  $\omega_0$ .

• Pour  $J_{\min} = 0,125 \cdot 10^{-4} \text{ kg} \cdot \text{m}^2$ , on a

$$\begin{cases} \omega_0 = \omega_{0\max} = 44,72 \text{ rad/s} \\ m = m_{\min} = 1,464 \end{cases}$$

• Pour  $J_{\max} = 0,125 \cdot 10^{-3} \text{ kg} \cdot \text{m}^2$ , on a

$$\begin{cases} \omega_0 = \omega_{0\min} = 14,14 \text{ rad/s} \\ m = m_{\max} = 0,654 \end{cases}$$

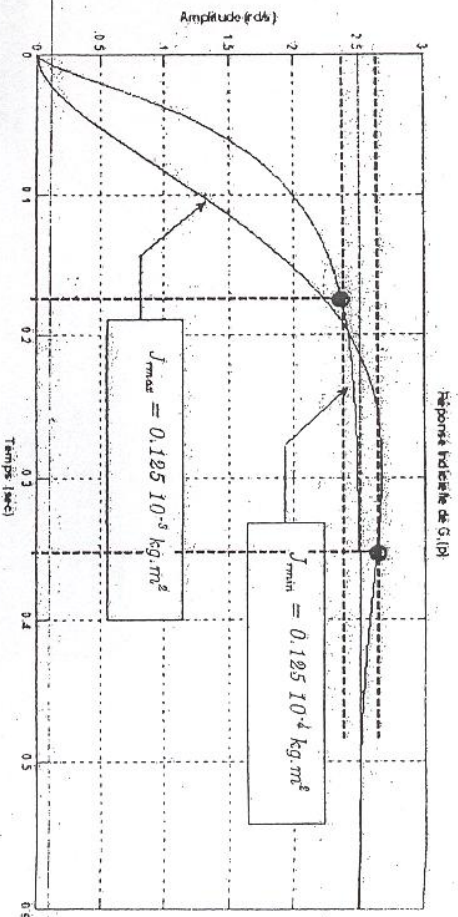
$$\omega_{0\max} = 44,72 \text{ rad/s}$$

$$m_{\max} = 1,464$$

$$\omega_{0\min} = 14,14 \text{ rad/s}$$

$$m_{\min} = 0,654$$

C2.1.9- Dans la figure ci-dessous, on donne les réponses indicelles unitaires du système dans les deux cas ( $J_{\min}$  et  $J_{\max}$ ). Spécifier la correspondance de chacune des courbes à  $J_{\min}$  et  $J_{\max}$ .



C2.1.10- Déterminer le temps de stabilisation à  $\pm 5\%$  correspondants. Conclure sur l'effet de  $J_r$ .

Pour  $J_r = J_{\min} = 0,125 \cdot 10^{-4} \text{ kg} \cdot \text{m}^2$  et  $J_r = J_{\max} = 0,125 \cdot 10^{-3} \text{ kg} \cdot \text{m}^2$  on a respectivement:

$$T_{s, \pm 5\%} = 0,185$$

$$T_{s, \pm 5\%} = 0,968$$

### Conclusion

Pour une charge légère, le système se stabilise rapidement

### C.2.2- Asservissement de vitesse du moteur

C2.2.1- Calculer l'expression de la fonction de transfert en boucle ouverte  $T(p)$  puis en boucle fermée  $H(p)$ .

Pour  $J_r = J_{\max} = 0,125 \cdot 10^{-3} \text{ kg} \cdot \text{m}^2$

La fonction de transfert en boucle ouverte est donnée par :

$$T(p) = \frac{500A}{p^2 + 18,5p + 200}$$

La fonction de transfert en boucle fermée est donnée par :

$$H(p) = \frac{500A}{p^2 + 18,5p + 200 + 500A}$$



C.2.2.2- Calculer en fonction de  $A$ , le gain statique  $K$ , la pulsation propre non amortie  $\omega_0$  et le coefficient d'amortissement  $m$  du système en boucle fermée.

$$H(p) = \frac{500A}{p^2 + 18.5p + 200 + 500A} = \frac{K\omega_0^2}{p^2 + 2m\omega_0 p + \omega_0^2}$$

$$K\omega_0^2 = 500A$$

Par identification on a :

$$2m\omega_0 = 18.5$$

$$\omega_0^2 = 200 + 500A$$

$$K = \frac{5A}{2 + 5A}$$

$$\omega_0 = 10\sqrt{2 + 5A}$$

$$m = \frac{0.925}{\sqrt{2 + 5A}}$$

C.2.2.3- Déterminer la valeur de  $A$  qui garantit un dépassement  $D(\%) = 16.3\%$ .

$$D(\%) = 16.3\% = 100.e^{-\frac{\pi}{m}} \Rightarrow m = 0.5 = \frac{0.925}{\sqrt{2 + 5A}}, \text{ donc}$$

$$A = 0.284$$

C.2.2.4- Calculer les erreurs statiques de position et de vitesse unitaires en fonction de  $A$ .

$$\text{La fonction de Transfert B.O. est } T(p) = \frac{500A}{p^2 + 18.5p + 200}$$

Système de classe 0, alors les erreurs sont données par :

$$\begin{cases} \varepsilon_p(\infty) = \frac{1}{1 + 2.5A} \\ \varepsilon_v(\infty) \rightarrow \infty \end{cases}$$

Dans la suite, on considère la forme suivante du correcteur :  $R(p) = \frac{A}{p}$  avec  $A > 0$ .

C.2.2.5- Étudier la stabilité du système en boucle fermée en fonction de  $A$ . En déduire la valeur du gain critique  $A_{cr}$  et la période d'oscillation correspondante  $T_{ac}$  du système bouclé.

Pour  $R(p) = \frac{A}{p}$ , la fonction de transfert en boucle ouverte est donnée par :

$$T(p) = \frac{500A}{p^2 + 18.5p + 200}$$

L'équation caractéristique du système est alors :  $p^2 + 18.5p^2 + 200p + 500A = 0$

Condition 1 : Le système est stable si  $A > 0$

Tableau de Routh :

$p^3$	1	200
$p^2$	18.5	500A
$p^1$	200 - 27.03A	
$p^0$	500A	

Condition 2 : Le système est stable si  $200 - 27.03A > 0 \Rightarrow A < 7.4$

Le système est alors stablessi :

$$0 < A < 7.4$$

Le gain critique est  $A_{cr} = 7.4$ , alors que le polynôme auxiliaire est :  $18.5p^2 + 500A_{cr} = 0$

$$A_{ac} = 7.4$$

$$p_{1,2} = \pm j10\sqrt{2} \Rightarrow T_{ac} = 0.44s$$

C.2.2.6- Peut-on assurer une erreur statique de vitesse unitaire inférieure ou égale à 20% ?

La fonction de transfert en boucle ouverte est donnée par :  $T(p) = \frac{500A}{p^2 + 18.5p + 200}$

Il s'agit d'un système de classe 1, alors  $\varepsilon_v(\infty) = \frac{1}{2.5A}$

$$\varepsilon_v(\infty) \leq 20\% \Rightarrow \frac{1}{2.5A} \leq 20\% \Leftrightarrow A \geq 2$$

Pour que  $\varepsilon_v(\infty) \leq 20\%$ , il faut que

$$2 \leq A < 7.4$$

